

ОРГАНИЧЕСКАЯ ХИМИЯ

УДК 547.567.5

А.П. АВДЕЕНКО, С.А. КОНОВАЛОВА, О.П. ЛЕДЕНЁВА, А.Л. ЮСИНА

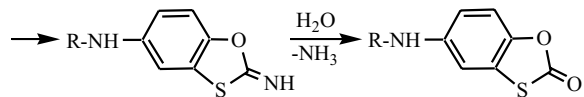
ВЗАИМОДЕЙСТВИЕ N-АЦЕТИЛ- И N-[АРИЛСУЛЬФОНИЛИМИНО(МЕТИЛ)МЕТИЛ]-1,4-БЕНЗОХИНОНМОНОИМИНОВ С РОДАНИДОМ КАЛИЯ

Донбасская государственная машиностроительная академия, г. Краматорск
Украинская инженерно-педагогическая академия, г. Славянск

В результате роданирования N-[арилсульфонилимино (метил) метил] - и N-ацетил-1,4-бензохинонмоноиминов образуются как 1,3-бензоксатиол-2-оны, так и 1,3-бензоксазол-2-тионы. Направление реакции зависит от величины энергии HСМО исходного хинонмоноимина. В случае N-ацетил-1,4-бензохинонмоноиминов выделены, в основном, 5-ацетиламино-1,3-бензоксатиол-2-оны, так как величина их энергии HСМО ниже, чем у N-[арилсульфонилимино (метил) метил]-1,4-бензохинонмоноиминов, и преобладает 1,4-присоединение роданид-иона атомом серы с орбитальным контролем.

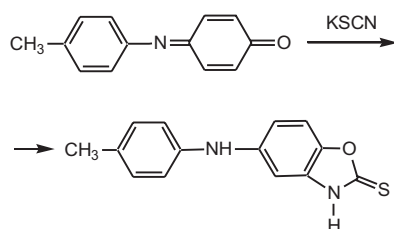
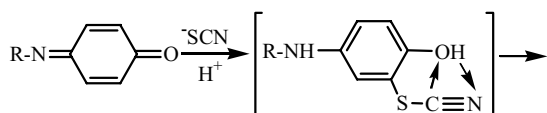
Ранее исследовано взаимодействие N-арил-[1], N-алкансульфонил-N'-алканоил-[2], N-арилсульфонил-, N-ароил-, N-[N-арилсульфонил]бензимидоил-[3], N-арилсульфонил-N'-ароил-[4] и N-алкил(трифторметил)сульфонил-[5] 1,4-бензохинонмоноиминов с роданидом калия. Роданид-ион [NCS]⁻ обладает двумя нуклеофильными центрами: атомом азота и атомом серы и является мягким нуклеофилом. В результате нуклеофильного присоединения роданид-иона атомом азота образуются изотиоцианаты (-NCS), а атомом серы — тиоцианаты (-SCN) [6].

Согласно литературным данным все N-замещенные 1,4-бензохинонмоноимины реагируют с роданидом калия по схеме 1,4-присоединения. В большинстве случаев вначале происходит присоединение роданид-иона атомом серы [2–5]. Затем в случае N-ароил-, N-арилсульфонил-, N-[N-арилсульфонил]бензимидоил-[3] и N-алкил(трифторметил)сульфонил-[5] 1,4-бензохинонмоноиминов в результате циклизации образуются 2-имино-1,3-бензоксатиолы, последующий гидролиз которых приводит к образованию N-замещенных 5-амино-1,3-бензоксатиол-2-онов.



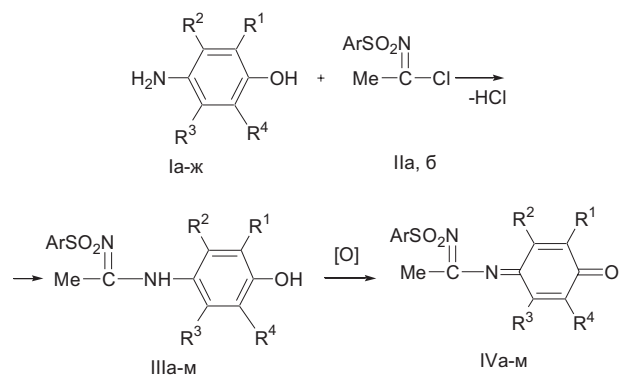
Продукт циклизации — 2-имино-5-трифторметилсульфониламино-1,3-бензоксатиол удалось выделить только для N-трифторметилсульфонил-1,4-бензохинонмоноимина, имеющего у атома азота сильный акцепторный заместитель — группу CF_3SO_2 [5], а продукты 1,4-присоединения — только при роданировании 1,4-бензохинонмоноиминов [2,4], имеющих более высокий ОВП, чем соответствующие 1,4-бензохинонмоноимины.

Реакция N-(4-метилфенил)-1,4-бензохинонмоноимина с роданистым калием на первом этапе также протекает по схеме 1,4-присоединения, но не атомом серы, а атомом азота роданид-иона. Последующая циклизация продукта приводит к образованию 5-(4-метилфенил)амино-1,3-бензоксазол-2-тиона [1]. Изменение хода реакции обусловлено довольно низким ОВП исходного хинонмоноимина, что приводит в повышению энергии его HСМО и как следствие к переходу от орбитального контроля реакции к зарядовому.



Целью данной работы является выявление закономерностей роданирования N-[арилсульфонилимино(метил)метил]- и N-ацетил-1,4-бензохинонмоноиминов. Их можно рассматривать как структурные аналоги N-[арилсульфонилимино(фенил)метил]- и N-ацетил-1,4-бензохинонмоноиминов, роданирование которых изучено ранее [3].

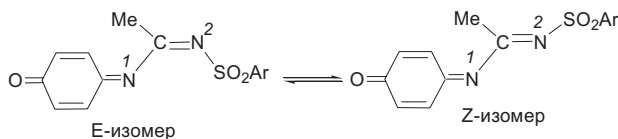
N-[Арилсульфонилимино(метил)метил]-1,4-бензохинонмоноимины синтезированы по методике [7]. В результате реакции 4-аминофенолов (Ia–ж) с N-арилсульфонилиминометилхлоридами (IIa, б) получены соответствующие 4-амино-N-[арилсульфонилимино(метил)метил]фенолы (IIIa–м), окисление которых тетраацетатом свинца в уксусной кислоте приводит к образованию N-[арилсульфонилимино(метил)метил]-1,4-бензохинонмоноиминов (IVa–м) (схема 1).



I: R¹=Me, R²=R³=R⁴=H (a); R¹=R²=Me, R³=R⁴=H (б); R¹=R³=Me, R²=R⁴=H (в); R³=Me, R¹=i-Pr, R²=R⁴=H (г); R¹=Me, R³=i-Pr, R²=R⁴=H (д); R²=R³=Me, R¹=R⁴=H (е); R¹=R⁴=Me, R²=R³=H (ж);
II: Ar = 4-MeC₆H₄ (а), 4-ClC₆H₄ (б);
III, IV: Ar = 4-MeC₆H₄ (в, д, ж, и, л), 4-ClC₆H₄ (а, б, г, е, з, к, м); R¹=Me, R²=R³=R⁴=H (а); R¹=R²=Me, R³=R⁴=H (б); R¹=R³=Me, R²=R⁴=H (в, г); R³=Me, R¹=i-Pr, R²=R⁴=H (д, е); R¹=Me, R³=i-Pr, R²=R⁴=H (ж, з); R²=R³=Me, R¹=R⁴=H (и, к); R¹=R⁴=Me, R²=R³=H (л, м).

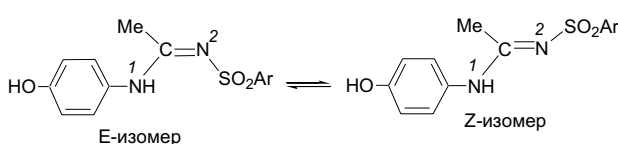
Схема 1

Характерной особенностью спектров ЯМР ¹Н хинонмоноиминов (IVa–з, к, м) является наличие двойного набора сигналов (табл. 1). Ранее установлено, что N-[арилсульфонилимино(метил)метил]-1,4-бензохинонмоноимины имеют два центра изомеризации и одновременно или последовательно независимо друг от друга в них может реализовываться два процесса – быстрый в шкале времени ЯМР процесс Z,E-изомеризации (топомеризация) хинониминного атома азота N¹ и Z,E-изомеризация атома азота N² [7,8]. В спектрах ЯМР ¹Н при комнатной температуре проявляется только второй вид изомерии, для которого E-изомер является термодинамически более выгодным [8], поэтому для хинонмоноиминов (IVa–з, м) его содержание составляет от 73 до 79%.



В спектре ЯМР ¹Н 3,5-диметил-1,4-бензохинонмоноимина (IVк), как и в спектре синтезированного ранее 3,5-диметил-1,4-бензохинонмоноимина (IVи) [7], присутствует только один изомер, а сигнал атомов водорода группы –C(Me)=N² – проявляется в виде уширенного синглета (табл. 1). Ранее установлено, что и Z,E-изомеризация (топомеризация) хинониминного атома азота N¹ и Z,E-изомеризация атома азота N² протекают по инверсионному механизму [7,8], для которого характерно снижение барьера Z,E-изомеризации при увеличении эффективного объема заместителя у атома углерода соответствующей связи C=N. В случае 3,5-диметил-1,4-бензохинонмоноиминов (IVи, к) введение заместителей в положения 3 и 5 хиноидного ядра увеличивает объем заместителя у атома углерода связи C=N². Это приводит к снижению величины барьера Z,E-изомеризации атома N² и к тому, что при комнатной температуре в спектрах ЯМР ¹Н данных хинонмоноиминов проявляется только один E-изомер, а о наличии динамического процесса Z,E-изомеризации можно судить по значительному уширению синглета атомов водорода группы –C(Me)=N²–. В спектрах ЯМР ¹Н 3,5-диметил-1,4-бензохинонмоноиминов (IVи, к), измеренных при понижении температуре, вначале происходит значительное уширение всех сигналов, а затем их раздвоение, что также свидетельствует о снижении барьера Z,E-изомеризации атома азота N² в хинонмоноиминах (IVи, к) по сравнению с хинонмоноиминами (IVa–з, л, м).

Z,E-Изомеризация атома азота N² проявляется также и в спектрах ЯМР ¹Н аминофенолов (IIIa–м), причем содержание Z-изомера по сравнению с хинонмоноиминами (IVa–м) значительно снижается и составляет от 5 до 14% (табл. 1). Следует отметить, что наименьшее содержание Z-изомера (5–6%) наблюдается в аминофенолах (IIIa, л, м), у которых отсутствуют заместители в положениях 3 и 5 аминофенольного ядра, что приводит к уменьшению эффективного объема заместителя у атома углерода связи C=N², и, как следствие, к увеличению процентного содержания E-изомера.



N-ацетил-1,4-бензохинонмоноимины (Va–д)

Взаимодействие N-ацетил- и N-[арилсульфонилимино(метил)метил]-1,4-бензохинонмоноиминов

Таблица 1

Спектры ЯМР ^1H исходных аминофенолов (IIIa–m) и хинонмоноиминов (IVa–z, k, m)

№ соединения	Химический сдвиг, δ , м.д.		
	протонов аминофенольного (хиноидного) ядра	протонов групп – $\text{C}(\text{Me})=\text{N}^2-$, NH , OH	протонов группы ArSO_2
IIIa (ДМСО)	E-изомер (94%): 7,21 д (1Н, H^3 , J 2,1 Гц), 7,12–7,15 д.д (1Н, H^5 , J 9,0 Гц, 2,1 Гц), 6,72 д (1Н, H^6 , J 9,0 Гц), 2,05 с (3Н, Me^2)	2,43 с (3Н, Me), 10,28 с (1Н, OH), 9,38 с (1Н, NH)	7,61–7,83 д.д (4Н, 4-ClC ₆ H ₄ , J 9,0 Гц)
	Z-изомер (6%): 6,92 д (1Н, H^3 , J 2,1 Гц), 6,84–6,87 д.д (1Н, H^5 , J 8,4 Гц, 2,1 Гц), 6,77 д (1Н, H^6 , J 8,4 Гц), 2,10 с (3Н, Me^2)	2,17 с (3Н, Me), 10,39 с (1Н, OH), 9,59 с (1Н, NH)	7,62–7,86 д.д (4Н, 4-ClC ₆ H ₄ , J 9,0 Гц)
IIIb (ДМСО)	E-изомер (86%): 6,77 д (1Н, H^5 , J 8,4 Гц), 6,66 д (1Н, H^6 , J 8,4 Гц), 2,04 с (3Н, Me^3), 1,94 с (3Н, Me^2)	2,40 с (3Н, Me), 10,12 с (1Н, OH), 9,40 с (1Н, NH)	7,56–7,70 д.д (4Н, 4-ClC ₆ H ₄ , J 9,0 Гц)
	Z-изомер (14%): 6,70 д (1Н, H^5 , J 9,0 Гц), 6,82 д (1Н, H^6 , J 9,0 Гц), 1,98 с (3Н, Me^3), 1,93 с (3Н, Me^2)	2,06 с (3Н, Me), 10,16 с (1Н, OH), 9,59 с (1Н, NH)	7,63–7,89 д.д (4Н, 4-ClC ₆ H ₄ , J 9,0 Гц)
IIIb (ДМСО)	E-изомер (89%): 6,82 с (1Н, H^3), 6,60 с (1Н, H^6), 2,04 с (3Н, Me^5), 1,98 с (3Н, Me^2)	2,37 с (3Н, Me), 9,80 с (1Н, OH), 9,29 с (1Н, NH)	7,30–7,57 д.д (4Н, 4-MeC ₆ H ₄ , J 8,1 Гц), 2,35 с (3Н, 4-MeC ₆ H ₄)
	Z-изомер (11%): 6,85 с (1Н, H^3), 6,66 с (1Н, H^6), 1,99 с (3Н, Me^5), 1,97 с (3Н, Me^2)	2,05 с (3Н, Me), 9,95 с (1Н, OH), 9,47 с (1Н, NH)	7,37–7,74 д.д (4Н, 4-MeC ₆ H ₄ , J 8,1 Гц), 2,35 с (3Н, 4-MeC ₆ H ₄)
IIIg (ДМСО)	E-изомер (88%): 6,81 с (1Н, H^3), 6,60 с (1Н, H^6), 2,03 с (3Н, Me^5), 1,98 с (3Н, Me^2)	2,39 с (3Н, Me), 9,95 с (1Н, OH), 9,32 с (1Н, NH)	7,57–7,69 д.д (4Н, 4-ClC ₆ H ₄ , J 9,0 Гц)
	Z-изомер (12%): 6,86 с (1Н, H^3), 6,67 с (1Н, H^6), 2,00 с (3Н, Me^5), 1,93 с (3Н, Me^2)	2,05 с (3Н, Me), 10,08 с (1Н, OH), 9,49 с (1Н, NH)	7,64–7,86 д.д (4Н, 4-ClC ₆ H ₄ , J 9,0 Гц)
IIId (ДМСО)	E-изомер (90%): 6,85 с (1Н, H^5), 6,60 с (1Н, H^2), 3,04–3,14 м (1Н, i-Pr), 2,00 с (3Н, Me^3), 1,05 д (6Н, i-Pr, J 6,9 Гц)	2,41 с (3Н, Me), 9,81 с (1Н, OH), 9,31 с (1Н, NH)	7,28–7,58 д.д (4Н, 4-MeC ₆ H ₄ , J 7,8 Гц), 2,34 с (3Н, 4-MeC ₆ H ₄)
	Z-изомер (10%): 6,86 с (1Н, H^5), 6,67 с (1Н, H^2), 3,04–3,14 м (1Н, i-Pr), 1,98 с (3Н, Me^3), 1,11 д (6Н, i-P, J 6,9 Гц)	1,99 с (3Н, Me), 9,94 с (1Н, OH), 9,51 с (1Н, NH)	7,36–7,75 д.д (4Н, 4-MeC ₆ H ₄ , J 7,8 Гц), 2,38 с (3Н, 4-MeC ₆ H ₄)
IIIe (ДМСО)	E-изомер (90%): 6,84 с (1Н, H^5), 6,60 с (1Н, H^2), 3,03–3,13 м (1Н, i-Pr), 2,00 с (3Н, Me^3), 1,03 д (6Н, i-Pr, J 6,9 Гц)	2,44 с (3Н, Me), 9,92 с (1Н, OH), 9,31 с (1Н, NH)	7,56–7,71 д.д (4Н, 4-ClC ₆ H ₄ , J 8,4 Гц)
	Z-изомер (10%): 6,85 с (1Н, H^5), 6,68 с (1Н, H^2), 3,03–3,13 м (1Н, i-Pr), 1,99 с (3Н, Me^3), 1,12 д (6Н, i-Pr, J 6,9 Гц)	2,00 с (3Н, Me), 10,05 с (1Н, OH), 9,50 с (1Н, NH)	7,65–7,87 д.д (4Н, 4-ClC ₆ H ₄ , J 8,4 Гц)
IIIж (ДМСО)	E-изомер (88%): 6,75 с (1Н, H^3), 6,68 с (1Н, H^6), 2,76–2,85 м (1Н, i-Pr), 2,04 с (3Н, Me^2), 1,03 д (6Н, i-Pr, J 6,6 Гц)	2,36 с (3Н, Me), 9,83 с (1Н, OH), 9,30 с (1Н, NH)	7,28–7,54 д.д (4Н, 4-MeC ₆ H ₄ , J 8,4 Гц), 2,34 с (3Н, 4-MeC ₆ H ₄)
	Z-изомер (12%): 6,83 с (1Н, H^3), 6,73 с (1Н, H^6), 2,72–2,81 м (1Н, i-Pr), 2,05 с (3Н, Me^2), 1,05 д (6Н, i-P, J 6,6 Гц)	1,96 с (3Н, Me), 9,99 с (1Н, OH), 9,48 с (1Н, NH)	7,36–7,74 д.д (4Н, 4-MeC ₆ H ₄ , J 7,8 Гц), 2,38 с (3Н, 4-MeC ₆ H ₄)
IIIз (ДМСО)	E-изомер (86%): 6,75 с (1Н, H^3), 6,67 с (1Н, H^6), 2,73–2,82 м (1Н, i-Pr), 2,04 с (3Н, Me^2), 1,01 д (6Н, i-Pr, J 6,6 Гц)	2,39 с (3Н, Me), 9,96 с (1Н, OH), 9,33 с (1Н, NH)	7,57–7,67 д.д (4Н, 4-ClC ₆ H ₄ , J 8,1 Гц)

№ соединения	Химический сдвиг, δ , м.д.		
	протонов аминофенольного (хиноидного) ядра	протонов групп – $C(Me)=N^2-$, NH, OH	протонов группы $ArSO_2$
III (ДМСО)	E-изомер (89%): 6,47 с (2H, $H^{2,6}$), 1,98 с (6H, $Me^{3,5}$)	2,37 с (3H, Me), 9,67 с (1H, OH), 9,30 с (1H, NH)	7,28–7,54 д.д (4H, 4-MeC ₆ H ₄ , J 8,4 Гц), 2,34 с (3H, 4-MeC ₆ H ₄)
	Z-изомер (11%): 6,53 с (2H, $H^{2,6}$), 1,91 с (6H, $Me^{3,5}$)	1,97 с (3H, Me), 10,08 с (1H, OH), 9,48 с (1H, NH)	7,38–7,76 д.д (4H, 4-MeC ₆ H ₄ , J 7,8 Гц), 2,34 с (3H, 4-MeC ₆ H ₄)
III _k (ДМСО)	E-изомер (89%): 6,47 с (2H, $H^{2,6}$), 1,97 с (6H, $Me^{3,5}$)	2,40 с (3H, Me), 9,79 с (1H, OH), 9,29 с (1H, NH)	7,56–7,65 д.д (4H, 4-ClC ₆ H ₄ , J 8,1 Гц)
	Z-изомер (11%): 6,53 с (2H, $H^{2,6}$), 1,91 с (6H, $Me^{3,5}$)	1,87 с (3H, Me), 10,06 с (1H, OH), 9,47 с (1H, NH)	7,65–7,89 д.д (4H, 4-ClC ₆ H ₄ , J 8,1 Гц)
III _л (ДМСО)	E-изомер (95%): 7,10 с (2H, $H^{3,5}$), 2,10 с (6H, $Me^{2,6}$)	2,41 с (3H, Me), 10,25 с (1H, OH), 8,27 с (1H, NH)	7,38–7,69 д.д (4H, 4-MeC ₆ H ₄ , J 8,4 Гц), 2,37 с (3H, 4-MeC ₆ H ₄)
	Z-изомер (5%): 6,77 с (2H, $H^{3,5}$), 2,14 с (6H, $Me^{2,6}$)	2,41 с (3H, Me), 10,27 с (1H, OH), 8,48 с (1H, NH)	7,38–7,78 д.д (4H, 4-MeC ₆ H ₄ , J 7,8 Гц), 2,37 с (3H, 4-MeC ₆ H ₄)
III _m (ДМСО)	E-изомер (94%): 7,09 с (2H, $H^{3,5}$), 2,09 с (6H, $Me^{2,6}$)	2,44 с (3H, Me), 10,45 с (1H, OH), 8,26 с (1H, NH)	7,62–7,82 д.д (4H, 4-ClC ₆ H ₄ , J 8,1 Гц)
	Z-изомер (6%): 6,78 с (2H, $H^{3,5}$), 2,13 с (6H, $Me^{2,6}$)	2,44 с (3H, Me), 10,27 с (1H, OH), 8,46 с (1H, NH)	7,62–7,84 д.д (4H, 4-ClC ₆ H ₄ , J 8,1 Гц)
IV _a (CDCl ₃)	E-изомер (75%): 6,91–6,94 д.д (1H, H^5 , J 10,2 Гц, 2,7 Гц), 6,73 к (1H, H^3), 6,69 д (1H, H^6 , J 10,2 Гц), 2,10 уш.с (3H, Me^2)	2,29 с (3H, Me)	7,48–7,86 д.д (4H, 4-ClC ₆ H ₄ , J 8,4 Гц)
	Z-изомер (25%): 6,97–7,01 д.д (1H, H^5 , J 10,2 Гц, 2,7 Гц), 6,81 к (1H, H^3), 6,65 д (1H, H^6 , J 10,2 Гц), 2,07 уш.с (3H, Me^2)	2,72 уш.с (3H, Me)	7,48–7,93 д.д (4H, 4-ClC ₆ H ₄ , J 8,4 Гц)
IV _b (CDCl ₃)	E-изомер (76%): 6,61 д (1H, H^5 , J 9,6 Гц), 6,73 д (1H, H^6 , J 9,6 Гц), 2,12 уш.с (3H, Me^3), 2,08 уш.с (3H, Me^2)	2,30 с (3H, Me)	7,48–7,86 д.д (4H, 4-ClC ₆ H ₄ , J 9,0 Гц)
	Z-изомер (24%): 6,60 д (1H, H^5 , J 9,6 Гц), 6,92 д (1H, H^6 , J 9,6 Гц), 2,12 уш.с (3H, Me^3), 2,09 уш.с (3H, Me^2)	2,72 уш.с (3H, Me)	7,48–7,93 д.д (4H, 4-ClC ₆ H ₄ , J 9,0 Гц)
IV _b (CDCl ₃)	E-изомер (79%): 6,53 к (1H, H^3 , J 0,9 Гц), 6,46 к (1H, H^6 , J 0,9 Гц), 2,11 д (3H, Me^5 , J 1,5 Гц), 2,01 д (3H, Me^2 , J 1,2 Гц)	2,29 с (3H, Me)	7,28–7,77 д.д (4H, 4-MeC ₆ H ₄ , J 8,4 Гц), 2,42 с (3H, 4-MeC ₆ H ₄)
	Z-изомер (21%): 6,69 к (1H, H^3 , J 0,9 Гц), 6,51 к (1H, H^6 , J 0,9 Гц), 2,10 д (3H, Me^5 , J 1,5 Гц), 2,01 д (3H, Me^2 , J 1,2 Гц)	2,72 уш.с (3H, Me)	7,33–7,87 д.д (4H, 4-MeC ₆ H ₄ , J 7,8 Гц), 2,44 с (3H, 4-MeC ₆ H ₄)

получены в результате окисления соответствующих 4-амино-N-ацетилфенолов оксидом серебра [9] или тетраацетатом свинца [10]. Синтезированные бензохинонмоноимины (V_a–d) идентичны

полученным ранее [9,10].

Реакции N-[арилсульфонилимино(метил)метил]-1,4-бензохинонмоноиминов (IV_a–m) и N-ацетил-1,4-бензохинонмоноиминов (V_a–d) с

Взаимодействие N-ацетил- и N-[арилсульфонилимино(метил)метил]-1,4-бензохинонмоноиминов

Продолжение таблицы 1

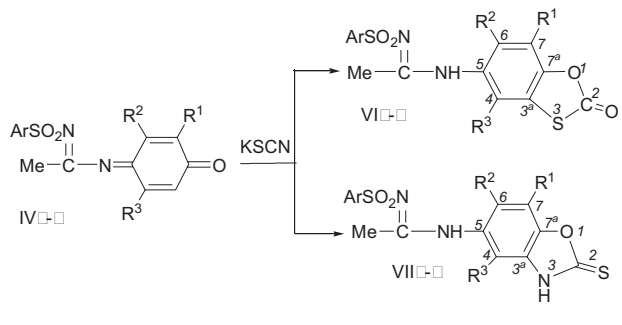
№ соединения	Химический сдвиг, δ, м.д.		
	протонов аминофенольного (хиноидного) ядра	протонов групп – C(Me)=N ²⁻ , NH, OH	протонов группы ArSO ₂
IV _r (CDCl ₃)	E-изомер (78%): 6,56 к (1H, H ³ , J 0,9 Гц), 6,51 к (1H, H ⁶ , J 0,9 Гц), 2,12 д (3H, Me ⁵ , J 1,5 Гц), 2,05 д (3H, Me ² , J 1,2 Гц)	2,31 с (3H, Me)	7,49–7,85 д.д (4H, 4-ClC ₆ H ₄ , J 8,7 Гц)
	Z-изомер (22%): 6,69 к (1H, H ³ , J 0,9 Гц), 6,54 к (1H, H ⁶ , J 0,9 Гц), 2,11 д (3H, Me ⁵ , J 1,5 Гц), 2,05 д (3H, Me ² , J 1,2 Гц)	2,72 уш.с (3H, Me)	7,49–7,93 д.д (4H, 4-ClC ₆ H ₄ , J 8,7 Гц)
IV _d (CDCl ₃)	E-изомер (73%): 6,51 уш.с (1H, H ⁵), 6,38 уш.с (1H, H ²), 2,98–3,08 м (1H, i-Pr), 2,10 уш.с (3H, Me ³), 1,12 д (6H, i-Pr, J 6,6 Гц)	2,28 с (3H, Me)	7,28–7,77 д.д (4H, 4-MeC ₆ H ₄ , J 8,1 Гц), 2,41 с (3H, 4-MeC ₆ H ₄)
	Z-изомер (27%): 6,59 уш.с (1H, H ⁵), 6,49 уш.с (1H, H ²), 2,96–3,07 м (1H, i-Pr), 2,10 уш.с (3H, Me ³), 1,05 д (6H, i-Pr, J 6,6 Гц)	2,71 уш.с (3H, Me)	7,33–7,86 д.д (4H, 4-MeC ₆ H ₄ , J 7,8 Гц), 2,42 с (3H, 4-MeC ₆ H ₄)
IV _e (CDCl ₃)	E-изомер (79%): 6,53 уш.с (1H, H ⁵), 6,40 уш.с (1H, H ²), 3,00–3,10 м (1H, i-Pr), 2,11 уш.с (3H, Me ³), 1,13 д (6H, i-Pr, J 6,6 Гц)	2,30 с (3H, Me)	7,48–7,84 д.д (4H, 4-ClC ₆ H ₄ , J 8,1 Гц)
	Z-изомер (21%): 6,59 уш.с (1H, H ⁵), 6,50 уш.с (1H, H ²), 2,98–3,08 м (1H, i-Pr), 2,12 уш.с (3H, Me ³), 1,05 д (6H, i-Pr, J 6,6 Гц)	2,73 уш.с (3H, Me)	7,49–7,89 д.д (4H, 4-ClC ₆ H ₄ , J 8,7 Гц)
IV _j (CDCl ₃)	E-изомер (75%): 6,51 уш.с (1H, H ³), 6,46 уш.с (1H, H ⁶), 3,03–3,12 м (1H, i-Pr), 2,01 уш.с (3H, Me ⁵), 1,21 д (6H, i-Pr, J 6,6 Гц)	2,29 с (3H, Me)	7,28–7,78 д.д (4H, 4-MeC ₆ H ₄ , J 8,1 Гц), 2,42 с (3H, 4-MeC ₆ H ₄)
	Z-изомер (25%): 6,69 уш.с (1H, H ³), 6,48 уш.с (1H, H ⁶), 2,84–2,93 м (1H, i-Pr), 2,01 уш.с (3H, Me ⁵), 1,13 д (6H, i-Pr, J 6,6 Гц)	2,70 уш.с (3H, Me)	7,35–7,88 д.д (4H, 4-MeC ₆ H ₄ , J 8,4 Гц), 2,43 с (3H, 4-MeC ₆ H ₄)
IV ₃ (CDCl ₃)	E-изомер (76%): 6,52 уш.с (1H, H ³), 6,48 уш.с (1H, H ⁶), 3,05–3,14 м (1H, i-Pr), 2,05 уш.с (3H, Me ⁵), 1,22 д (6H, i-Pr, J 6,3 Гц)	2,30 с (3H, Me)	7,48–7,86 д.д (4H, 4-ClC ₆ H ₄ , J 8,1 Гц)
	Z-изомер (24%): 6,68 уш.с (1H, H ³), 6,49 уш.с (1H, H ⁶), 3,05–3,14 м (1H, i-Pr), 2,05 уш.с (3H, Me ⁵), 1,16 д (6H, i-Pr, J 6,3 Гц)	2,72 уш.с (3H, Me)	7,49–7,89 д.д (4H, 4-ClC ₆ H ₄ , J 8,7 Гц)
IV _k (CDCl ₃)	6,48 с (2H, H ^{2,6}), 2,14 с (6H, Me ^{3,5})	2,38 уш.с (3H, Me)	7,48–7,85 д.д (4H, 4-ClC ₆ H ₄ , J 8,4 Гц)
IV _m (CDCl ₃)	E-изомер (75%): 6,69 уш.с (2H, H ^{3,5}), 2,09 уш.с (6H, Me ^{2,6})	2,28 с (3H, Me)	7,48–7,85 д.д (4H, 4-ClC ₆ H ₄ , J 8,1 Гц)
	Z-изомер (25%): 6,76 уш.с (2H, H ^{3,5}), 2,06 уш.с (6H, Me ^{2,6})	2,70 уш.с (3H, Me)	7,49–7,91 д.д (4H, 4-ClC ₆ H ₄ , J 8,1 Гц)

KSCN проводили в ледяной уксусной кислоте с соотношением реагентов хинонмоноимин — роданид калия 1:2. Продукты реакции выделяли через сутки после полного осаждения их водой из реакционной массы.

В результате реакции бензохинонмоноиминов (IV_a–к) с роданидом калия получены смеси

продуктов, включающие 5-арилсульфонилимино-(метил)метиламино-1,3-бензоксатиол-2-оны (VII_a–к) и 5-арилсульфонилимино(метил)метиламино-1,3-бензоксазол-2-тионы (VII_b–к) (схема 2). Аналог последних ранее был получен только при роданировании N-(4-метилфенил)-1,4-бензохинонмоноимина [1]. Процентное соотношение продуктов

реакции (VIa–к) и (VIIб–к) представлено в табл. 2. В индивидуальном виде в результате перекристаллизации удалось выделить 1,3-бензоксатиол-2-оны (VIa, в, г, ж, з). Следует отметить, что в случае 3,5-диметилзамещенных хинонмоноиминов (IVи, к) процентное содержание 1,3-бензоксазол-2-тионов (VIIи, к) является наибольшим – 34 и 56%.



$\text{Ar} = 4\text{-MeC}_6\text{H}_4$ (в, д, ж, и), $4\text{-ClC}_6\text{H}_4$ (а, б, г, е, з, к); $\text{R}^1=\text{Me}$, $\text{R}^2=\text{R}^3=\text{H}$ (а); $\text{R}^1=\text{R}^2=\text{Me}$, $\text{R}^3=\text{H}$ (б); $\text{R}^1=\text{R}^3=\text{Me}$, $\text{R}^2=\text{H}$ (в, г); $\text{R}^3=\text{Me}$, $\text{R}^1=i\text{-Pr}$, $\text{R}^2=\text{H}$ (д, е); $\text{R}^1=\text{Me}$, $\text{R}^3=i\text{-Pr}$, $\text{R}^2=\text{H}$ (ж, з); $\text{R}^2=\text{R}^3=\text{Me}$, $\text{R}^1=\text{H}$ (и, к).

Схема 2

В результате реакции 2,6-диметил-1,4-бензоксатиол-2-оны (IVл, м) с KSCN выделены только продукты их восстановления – соответствующие 4-аминофенолы (IIIл, м), что свидетельствует о региоспецифичности присоединения роданид-иона к 1,4-бензохинонмоноиминам только по схеме 1,4.

Строение соединений (VIa–к) доказано на основании данных элементного анализа индивидуально выделенных соединений, спектров ЯМР ¹H, ¹³C (табл. 3) и ИК-спектров. В спектрах ЯМР ¹H соединений (VIa–к) присутствует уширенный синглет атома водорода группы NH, два (VIa) или один (VIб–к) синглет атомов водорода ароматического ядра 1,3-бензоксатиол-2-она, а протоны водорода метильной группы ArSO₂N=C(Me) проявляются в области δ 2,42–2,48 м.д. В спектре ЯМР ¹³C соединения (VIз) присутствуют характерные для 5-замещенных-1,3-бензоксатиол-2-онов сигналы атома углерода группы C=O (168,10 м.д.), атома C^{7a} (143,03 м.д.), атома C^{3a} (121,18 м.д.). В ИК-спектрах присутствуют полосы поглощения в области 1780–1750 cm^{-1} , что характерно для группы C=O 1,3-бензоксатиол-2-онов, 1645–1630 cm^{-1} – для групп C=N, 3340–3310 cm^{-1} – для группы NH, и отсутствует поглощение в областях, характерных для групп –OH, –SCN, –NCS.

Строение 1,3-бензоксазол-2-тионов (VIIб–к) установлено на основании спектров ЯМР ¹H и ИК-спектров. В спектрах ЯМР ¹H соединений (VIIб–к) присутствует 2 уширенных синглета протонов групп NH, а сигналы протонов метиль-

Таблица 2
Процентное соотношение продуктов реакции роданирования хинонмоноиминов (IVa–к) (схему 2)

Исходный хинонмоноимин	Ar	R ¹	R ²	R ³	Содержание продуктов присоединения, %	
					VI	VII
IVa	4-ClC ₆ H ₄ SO ₂ N	Me	H	H	100	–
IVб	4-ClC ₆ H ₄ SO ₂ N	Me	Me	H	77	23
IVв	4-MeC ₆ H ₄ SO ₂ N	Me	H	Me	93	7
IVг	4-ClC ₆ H ₄ SO ₂ N	Me	H	Me	92	8
IVд	4-MeC ₆ H ₄ SO ₂ N	i-Pr	H	Me	64	36
IVе	4-ClC ₆ H ₄ SO ₂ N	i-Pr	H	Me	77	23
IVж	4-MeC ₆ H ₄ SO ₂ N	Me	H	i-Pr	85	15
IVз	4-ClC ₆ H ₄ SO ₂ N	Me	H	i-Pr	95	5
IVи	4-MeC ₆ H ₄ SO ₂ N	H	Me	Me	66	34
IVк	4-ClC ₆ H ₄ SO ₂ N	H	Me	Me	44	56

ных групп и атомов водорода ароматического ядра 1,3-бензоксазол-2-тионов смешены в более сильное поле по сравнению с сигналами аналогичных протонов 1,3-бензоксатиол-2-онов (VIб–к) (табл. 3). В ИК-спектрах присутствуют широкие полосы поглощения в области 3300–3100 cm^{-1} , что свидетельствует о наличии групп NH, отсутствует поглощение в областях, характерных для групп –OH, –SCN, –NCS. Отсутствие полосы поглощения в области 2600–2500 cm^{-1} , характерной для тиолов, свидетельствует о том, что данные соединения существуют в тионной форме.

В результате реакции N-ацетил-1,4-бензохинонмоноиминов (Va–д) с роданидом калия в уксусной кислоте образуются 5-ацетиламино-1,3-бензоксатиол-2-оны (VIIIа–д) (схема 3). В случае 2-метилпроизводного (Va) в смеси продуктов, выделенной после окончания реакции, присутствовали также 5-ацетиламино-1,3-бензоксазол-7-метил-2-тион (IX) и N-ацетил-6-ацетилокси-2-метил-4-аминофенол (X) с процентным содержанием 30 и 34%, соответственно. Продукт 1,4-присоединения ацетилокси-иона, аналогичный соединению (X), ранее был выделен при попытке роданирования N,N'-диароил-1,4-бензохинондииминов [11]. Следует отметить, что для продуктов роданирования хинонмоноиминов (Vб–д) в индивидуальном виде удалось выделить 5-ацетиламино-1,3-бензоксатиол-2-оны (VIIIб–д), а для хинонмоноимина (Va) только 1,3-бензоксазол-2-тион (IX).

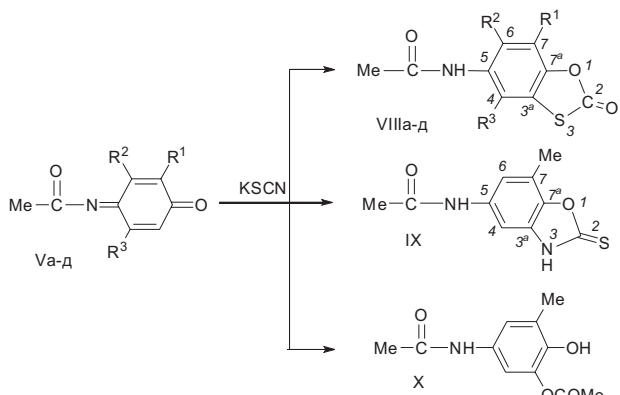
Взаимодействие N-ацетил- и N-[арилсульфонилимино(метил)метил]-1,4-бензохинонмоноиминов

Таблица 3

Спектры ЯМР ^1H соединений (VIa–к, VIIb–к, VIIIa–д, IX, X, XIII, XIV)

Номер соединения	Химические сдвиги, δ , м.д.		
	протонов гетероциклического или аминофенольного фрагментов	протонов групп $-\text{C}(\text{Me})=\text{N}^2-$, NH, OH	протонов группы ArSO_2 или MeCO
VIa (ДМСО-d ₆)	7,71 д (1H, H ⁴ , J 1,8 Гц), 7,33 д (1H, H ⁶ , J 1,8 Гц), 2,29 с (3H, 7-Me)	2,45 с (3H, Me), 10,37 уш.с (1H, NH)	7,64? 7,86 д.д (4H, 4-ClC ₆ H ₄ , J 8,7 Гц)
VIIb (ДМСО-d ₆)	7,45 уш.с (1H, H ⁴), 2,27 уш.с (3H, 7-CH ₃), 2,05 с (3H, 6-Me)	2,45 уш.с (3H, Me), 10,37 уш.с (1H, NH)	7,58? 7,70 д.д (4H, 4-ClC ₆ H ₄ , J 8,1 Гц)
VIIc (ДМСО-d ₆)	7,11 уш.с (1H, H ⁶), 2,29 с (3H, 7-Me), 2,08 с (3H, 4-Me)	2,43 уш.с (3H, Me), 10,21 уш.с (1H, NH)	7,32? 7,61 д.д (4H, 4-MeC ₆ H ₄ , J 7,8 Гц), 2,35 с (3H, 4-MeC ₆ H ₄)
VIId (ДМСО-d ₆)	7,11 уш.с (1H, H ⁶), 2,29 с (3H, 7-Me), 2,08 с (3H, 4-Me)	2,46 с (3H, Me), 10,34 уш.с (1H, NH)	7,59? 7,71 д.д (4H, 4-ClC ₆ H ₄ , J 8,1 Гц)
VIIe (ДМСО-d ₆)	7,15 с (1H, H ⁶), 3,07–3,16 м (1H, i-Pr), 2,10 с (3H, 4-Me), 1,15 д (6H, i-Pr, J 6,6 Гц)	2,48 с (3H, Me), 10,17 уш.с (1H, NH)	7,31? 7,60 д.д (4H, 4-MeC ₆ H ₄ , J 7,2 Гц), 2,35 с (3H, Me в 4-MeC ₆ H ₄)
VIIf (ДМСО-d ₆)	7,14 с (1H, H ⁶), 3,06–3,15 м (1H, i-Pr), 2,10 с (3H, 4-Me), 1,13 д (6H, i-Pr, J 6,9 Гц)	2,47 с (3H, Me), 10,29 уш.с (1H, NH)	7,58? 7,73 д.д (4H, 4-ClC ₆ H ₄ , J 8,4 Гц)
VIIg (ДМСО-d ₆)	7,06 уш.с (1H, H ⁶), 3,04–3,13 м (1H, i-Pr), 2,30 с (3H, 7-Me), 1,14 д (6H, i-Pr, J 7,2 Гц)	2,42 с (3H, Me), 10,21 уш.с (1H, NH)	7,31? 7,56 д.д (4H, 4-MeC ₆ H ₄ , J 7,8 Гц), 2,34 с (3H, MeC ₆ H ₄)
VIIh (ДМСО-d ₆)	7,06 с (1H, H ⁶), 3,03–3,12 м (1H, i-Pr), 2,30 с (3H, 7-Me), 1,11 д (6H, i-Pr, J 6,9 Гц)	2,45 с (3H, Me), 10,34 уш.с (1H, NH),	7,58? 7,67 д.д (4H, 4-ClC ₆ H ₄ , J 7,8 Гц)
VIIi (ДМСО-d ₆)	7,32 с (1H, H ⁷), 2,14 с (3H, 4-Me), 2,10 с (3H, 6-Me)	2,44 с (3H, Me), 10,04 уш.с (1H, NH)	7,30? 7,55 д.д (4H, 4-MeC ₆ H ₄ , J 8,1 Гц), 2,34 с (3H, MeC ₆ H ₄)
VIIj (ДМСО-d ₆)	7,33 с (1H, H ⁷), 2,14 с (3H, 4-Me), 2,09 с (3H, 6-Me)	2,48 с (3H, Me), 10,15 уш.с (1H, NH)	7,59? 7,68 д.д (4H, 4-ClC ₆ H ₄ , J 7,8 Гц)
VIIk (ДМСО-d ₆)	7,19 уш.с (1H, H ⁴), 2,22 уш.с (3H, 7-CH ₃), 1,99 с (3H, 6-Me)	2,42 уш.с (3H, Me), 9,61 уш.с (1H, NH), 10,09 уш.с (1H, NH)	7,58? 7,70 д.д (4H, 4-ClC ₆ H ₄ , J 8,1 Гц)
VIIl (ДМСО-d ₆)	6,95 уш.с (1H, H ⁶), 2,23 с (3H, 7-Me), 1,98 с (3H, 4-Me)	2,40 уш.с (3H, Me), 9,72 уш.с (1H, NH), 10,10 уш.с (1H, NH)	7,34? 7,76 д.д (4H, 4-MeC ₆ H ₄ , J 7,8 Гц), 2,35 с (3H, 4-MeC ₆ H ₄)
VIIm (ДМСО-d ₆)	6,93 уш.с (1H, H ⁶), 2,23 с (3H, 7-Me), 1,98 с (3H, 4-Me)	2,42 с (3H, Me), 9,75 уш.с (1H, NH), 10,23 уш.с (1H, NH)	7,62? 7,89 д.д (4H, 4-ClC ₆ H ₄ , J 8,1 Гц)
VIIn (ДМСО-d ₆)	6,98 с (1H, H ⁶), 3,05–3,14 м (1H, i-Pr), 2,00 с (3H, 4-Me), 1,13 д (6H, i-Pr, J 6,9 Гц)	2,45 с (3H, Me), 9,71 уш.с (1H, NH), 10,08 уш.с (1H, NH)	7,39? 7,75 д.д (4H, 4-MeC ₆ H ₄ , J 7,2 Гц), 2,35 с (3H, Me в 4-MeC ₆ H ₄)
VIIo (ДМСО-d ₆)	6,97 с (1H, H ⁶), 3,04–3,13 м (1H, i-Pr), 2,00 с (3H, 4-Me), 1,10 д (6H, i-Pr, J 6,9 Гц)	2,44 с (3H, Me), 9,73 уш.с (1H, NH), 10,20 уш.с (1H, NH)	7,62? 7,88 д.д (4H, 4-ClC ₆ H ₄ , J 8,4 Гц)
VIIp (ДМСО-d ₆)	6,89 уш.с (1H, H ⁶), 3,02–3,11 м (1H, i-Pr), 2,23 с (3H, 7-Me), 1,12 д (6H, i-Pr, J 7,2 Гц)	2,40 с (3H, Me), 9,65 уш.с (1H, NH), 10,09 уш.с (1H, NH)	7,39? 7,75 д.д (4H, 4-MeC ₆ H ₄ , J 7,8 Гц), 2,34 с (3H, MeC ₆ H ₄)
VIIq (ДМСО-d ₆)	6,87 уш.с (1H, H ⁶), 3,03–3,12 м (1H, i-Pr), 2,24 с (3H, 7-Me), 1,10 д (6H, i-Pr, J 7,2 Гц)	2,42 с (3H, Me), 9,69 уш.с (1H, NH), 10,11 уш.с (1H, NH)	7,60? 7,88 д.д (4H, 4-ClC ₆ H ₄ , J 7,8 Гц)
VIIr (ДМСО-d ₆)	7,07 с (1H, H ⁷), 2,08 с (3H, 4-Me), 2,00 с (3H, 6-Me)	2,42 с (3H, Me), 9,72 уш.с (1H, NH), 9,94 уш.с (1H, NH)	7,38? 7,78 д.д (4H, 4-MeC ₆ H ₄ , J 8,1 Гц), 2,34 с (3H, MeC ₆ H ₄)
VIIx (ДМСО-d ₆)	7,08 с (1H, H ⁷), 2,08 с (3H, 4-Me), 2,00 с (3H, 6-Me)	2,45 с (3H, Me), 9,75 уш.с (1H, NH), 10,03 уш.с (1H, NH)	7,60? 7,88 д.д (4H, 4-ClC ₆ H ₄ , J 7,8 Гц)

Номер соединения	Химические сдвиги, δ , м.д.		
	протонов гетероциклического или аминофенольного фрагментов	протонов групп $-\text{C}(\text{Me})=\text{N}^2-$, NH, OH	протонов группы ArSO_2 или MeCO
VIIIa (ДМСО-d ₆)	7,69 уш.с (1H, H ⁴), 7,27 уш.с (1H, H ⁶), 2,37 с (3H, 7-Me)	10,06 уш.с (1H, NH)	2,04 с (3H, Me)
VIIIб (ДМСО-d ₆)	7,21 с (1H, H ⁶), 2,30 с (3H, 7-Me), 2,14 с (3H, 4-Me)	9,54 уш.с (1H, NH),	2,05 с (3H, Me)
VIIIв (ДМСО-d ₆)	7,23 с (1H, H ⁶), 3,10–3,19 м (1H, i-Pr), 2,14 с (3H, 4-Me), 1,23 д (6H, i-Pr, <i>J</i> 6,6 Гц)	9,58 уш.с (1H, NH),	2,05 с (3H, Me)
VIIIг (ДМСО-d ₆)	7,08 с (1H, H ⁶), 3,22–3,32 м (1H, i-Pr), 2,29 с (3H, 7-Me), 1,18 д (6H, i-Pr, <i>J</i> 7,2 Гц)	9,55 уш.с (1H, NH),	2,04 с (3H, Me)
VIIIд (ДМСО-d ₆)	7,28 с (1H, H ⁷), 2,19 с (3H, 6-Me), 2,14 с (3H, 4-Me)	9,39 уш.с (1H, NH),	2,06 с (3H, Me)
IX (ДМСО-d ₆)	7,60 уш.с (1H, H ⁴), 7,08 уш.с (1H, H ⁶), 2,35 с (3H, 7-Me)	13,70 уш.с (1H, NH), 9,99 уш.с (1H, NH)	2,04 с (3H, Me)
X (ДМСО-d ₆)	7,68 уш.с (1H, H ⁴), 7,42 уш.с (1H, H ⁶), 2,20 с (3H, 7-Me)	9,82 уш.с (1H, OH), 9,09 уш.с (1H, NH)	1,99 с (3H, Me)
XIII (ДМСО-d ₆)	7,83 д (1H, H ⁴ , <i>J</i> 1,5 Гц), 7,63 д (1H, H ⁷ , <i>J</i> 9,0 Гц), 7,41–7,44 д.д (1H, H ⁶ , <i>J</i> 9,0, 1,5 Гц),	10,20 уш.с (1H, NH)	8,89 д (1H, H ⁷ , <i>J</i> 2,4 Гц), 8,21–8,24 д.д (1H, H ⁵ , <i>J</i> 8,7 Гц), 7,06 д (1H, H ⁶ , <i>J</i> 8,7 Гц)
XIV (ДМСО-d ₆)	7,33 д (1H, H ⁷ , <i>J</i> 9,0 Гц), 6,83–6,85 д.д (1H, H ⁶ , <i>J</i> 9,0, 1,8 Гц), 6,80 д (1H, H ⁴ , <i>J</i> 1,8 Гц)	13,58 уш.с (1H, NH), 8,16 уш.с (1H, NH)	6,98? 7,08 д.д (4H, 4- MeC ₆ H ₄ , <i>J</i> 8,7 Гц), 2,24 с (3H, MeC ₆ H ₄)



R¹=Me, R²=R³=H (a); R¹=R³=Me, R²=H (б); R³=Me, R¹=i-Pr, R²=H (в); R¹=Me, R³=i-Pr, R²=H (г); R²=R³=Me, R¹=H (д).

Схема 3

Строение соединений (VIIIa–д, IX, X) доказано на основании данных элементного анализа индивидуально выделенных веществ, спектров ЯМР ¹H и ИК-спектров. В спектрах ЯМР ¹H 5-ацетиламино-1,3-бензоксатиол-2-онов (VIIIa–д) присутствуют два (VIIIa) или один (VIIIб–д) синглета протонов водорода ароматического ядра 1,3-бензоксатиол-2-она, уширенный синглет атома водорода группы NH и характерный набор сигналов, соответствующих протонам алкильных заместителей и ацетильной группы.

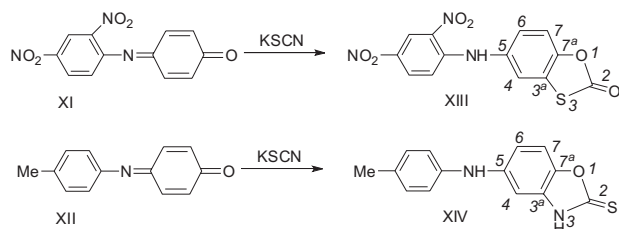
1,3-Бензоксазол-2-тион (IX) согласно спектральным данным также как соединения (VIIIб–к) существует в тионной форме. В спектре ЯМР ¹H

присутствует два уширенных синглета атомов водорода группы NH, а сигналы протонов ароматического ядра и метильных групп 1,3-бензоксазол-2-тиона (IX) сдвинуты в более сильное поле по сравнению с 5-ацетиламино-1,3-бензоксатиол-7-метил-2-оном (VIIIa). В ИК-спектре присутствует широкая полоса поглощения в области 3300–3100 cm^{-1} , что свидетельствует о наличии групп NH, отсутствует поглощение в областях, характерных для групп –OH, –SCN, –NCS, –SH.

Ранее установлено, что направление реакции роданирования N-замещенных 1,4-бензохинонмоноиминов определяется энергией HСМО исходного хинонмоноимина — хинонимины с низким значением энергии HСМО реагируют с роданид-ионом по атому серы с орбитальным контролем (N-аро-ил-, N-сульфонил-, N-бензимидиоилпроизводные [4, 11]), с высоким — по атому азота под зарядовым контролем (N-[4-метилфенил]-1,4-бензохинонмоноимина [1]). Согласно квантово-химическим расчетам в зависимости от величины энергии HСМО хинонимины без заместителей в хиноидном ядре можно выстроить в следующей последовательности 4-MeC₆H₄- (-324,12 кДж/моль) > > PhSO₂N=C(Me)- (-360,27 кДж/моль) > > MeC(O)- (-366,65 кДж/моль) > PhSO₂- (-383,05 кДж/моль) > 2,4-(NO₂)₂C₆H₄- (-383,32 кДж/моль). В соответствии с экспериментальными данными для первого представителя данного ряда (N-(4-метилфенил)-1,4-бензохинонмоноимин) присоединение иона SCN⁻ происходит атомом азота [1], а для N-арилсульфонил-1,4-

бензохинонмоноимина — атомом серы [3]. Роданирование остальных хинонмоноиминов ввиду сложности их выделения в кристаллическом виде ранее не исследовалось. На основании представленных данных можно предположить, что роданирование последнего представителя данного ряда — N-(2,4-динитрофенил)-1,4-бензохинонмоноимина должно протекать строго атомом серы роданид-иона.

С целью проверки данного предположения мы провели реакцию N-(2,4-динитрофенил)-1,4-бензохинонмоноимина (XI) с роданидом калия и для получения спектральных характеристик в идентичных условиях повторили реакцию N-(4-метилфенил)-1,4-бензохинонмоноимина (XII) с KSCN, результаты которой представлены в работе [1]. Как и ожидалось, роданирование хинонмоноимина (XI) протекает атомом серы роданид-иона — получен 5-(2,4-динитрофенил)амино-1,3-бензоксатиол-2-он (XIII), а хинонмоноимина (XII) — атомом азота роданид-иона, получен 5-(4-метилфенил)амино-1,3-бензоксазол-2-тион (XIV) (схема 4).



В спектре ЯМР ^1H соединения (XIII) присутствует 2 набора сигналов трех атомов водорода арильного фрагмента и трех атомов водорода ароматического ядра 1,3-бензоксатиол-2-она (табл. 3). Спектральные характеристики соединения (XIV) соответствуют литературным данным [1] (табл. 3). Уширенные синглеты атомов водорода группы NH 1,3-бензоксазол-2-тиона (XIV) проявляются с химическими сдвигами δ 13,58 и 8,16 м.д., а атома водорода группы NH 1,3-бензоксатиол-2-она (XIII) — с химическим сдвигом δ 10,20 м.д.

Согласно квантово-химическим расчетам введение алкильных заместителей в хиноидное ядро хинонмоноимина повышает энергию его HСМО, что особенно существенно для 3,5-диметилпроизводных. Это должно приводить к увеличению доли продуктов, образующихся через стадию присоединения роданид-иона атомом азота. Так, энергия HСМО 3,5-диметил-1,4-бензохинонмоноимина (IVи) составляет $-341,00$ кДж/моль. Согласно эксперименту, процентное содержание продуктов роданирования хинонмоноимина (IVи) — 1,3-бензоксазол-2-тионов (VIIи, к), образующихся через стадию присоединения роданид-иона атомом азота, является наибольшим (34 и 56%) (табл. 2), что подтверждает расчетные данные.

Таким образом, в настоящей работе установ-

лено, что присоединение роданид-иона к N-[арилсульфонилимино(метил)метил]- и N-ацетил-1,4-бензохинонмоноиминам происходит по схеме 1,4-присоединения, которое может идти как атомом серы, так и атомом азота. Образовавшийся продукт затем циклизуется с образованием соответствующего 1,3-бензоксатиол-2-она или 1,3-бензоксазол-2-тиона. Направление реакции зависит от величины энергии HСМО исходного хинонмоноимина — для хинонмоноиминов с низкой энергией HСМО 1,4-присоединение идет атомом серы роданид-иона с орбитальным контролем, для хинонмоноиминов с высокой энергией HСМО — атомом азота роданид-иона с зарядовым контролем. Для N-ацетил-1,4-бензохинонмоноиминов, величина энергии HСМО которых ниже, чем у N-[арилсульфонилимино(метил)метил]-1,4-бензохинонмоноиминов получены, в основном, 5-ацетилиамино-1,3-бензоксатиол-2-оны, образующиеся по первой схеме.

Экспериментальная часть

Спектры ЯМР ^1H получены на приборе Varian VXR-300 с рабочей частотой 300 МГц относительно ТМС в CHCl_3 для соединений (IVа—м) и в $\text{DMSO}-d_6$ для соединений (IIIа—м, IVа—к, VIа—к, VIIб—к, VIIа—д, IX, X, XIII, XIV). Для ТСХ применяли пластины Silufol UV-254. В качестве растворителя использовали хлороформ, элюент — бензол—гексан, 10:1, проявление УФ светом.

Квантово-химические расчеты проводились с использованием программы пакета Firefly QC [12], который частично основан на исходном коде пакета GAMESS (US) [13]. Молекулярная структура исследуемых соединений была рассчитана в рамках теории функционала плотности, с применением функционала B3LYP. Для расчетов использовался стандартный базисный набор 6-31+G(d).

4-Амино-N-[арилсульфонилимино(метил)-метил]фенолы (IIIа—з, к, м) получены ацилированием 1,4-аминофенолов (Iа—ж) соответствующими N-[арилсульфонилимино(метил)метил]хлоридами (IIа, б) в смеси ДМФА— $\text{CH}_3\text{CO}_2\text{H}$, 1:3 в присутствии безводного ацетата натрия по методике, описанной в работе [14]. Полученные аминофенолы (IIIа—з, к, м) перекристаллизовывали из ледяной уксусной кислоты.

N-[Арилсульфонилимино(метил)метил]-1,4-бензохинонмоноимины (IVа—з, к, м) получены окислением соответствующих N-замещенных 4-аминофенолов тетраацетатом свинца в уксусной кислоте по методике [14]. Полученные хинонмоноимины (IVа—з, к, м) перекристаллизовывали из ледяной уксусной кислоты.

Спектры ЯМР ^1H аминофенолов (IIIа—м) и хинониминов (IVа—з, к, м) представлены в таблице 1, выходы, температуры плавления, данные элементного анализа — в табл. 4.

N-ацетил-1,4-бензохинонмоноимины (Vа—

Таблица 4

Выходы, температуры плавления, данные элементного анализа исходных соединений (III_а–з, к, м, IV_а–з, к, м) и продуктов реакции (VI_а, в, г, ж, з, VIII_б–д, IX, XIII)

Номер соединения	T _{пл} , °C	Выход, %	Найдено, %		Формула	Вычислено, %	
			N	S		N	S
III _а	184	65	8,07; 8,31	9,22; 9,50	C ₁₅ H ₁₅ ClN ₂ O ₃ S	8,27	9,46
III _б	155–157	58	7,92; 8,25	8,78; 9,06	C ₁₆ H ₁₇ ClN ₂ O ₃ S	7,94	9,09
III _в	162–163	45	8,16; 8,44	9,53; 9,76	C ₁₇ H ₂₀ N ₂ O ₃ S	8,43	9,65
III _г	180,0–181,5	64	7,53; 7,80	8,84; 9,09	C ₁₆ H ₁₇ ClN ₂ O ₃ S	7,94	9,09
III _д	201–202	50	7,69; 8,12	8,51; 8,88	C ₁₉ H ₂₄ N ₂ O ₃ S	7,77	8,90
III _е	202	71	7,33; 7,64	8,42; 8,73	C ₁₈ H ₂₁ ClN ₂ O ₃ S	7,35	8,42
III _ж	186	42	7,51; 7,89	8,91; 9,26	C ₁₉ H ₂₄ N ₂ O ₃ S	7,77	8,90
III _з	170,5–172	49	6,92; 7,35	8,30; 8,59	C ₁₈ H ₂₁ ClN ₂ O ₃ S	7,35	8,42
III _к	176–177	51	8,00; 8,26	9,03; 9,41	C ₁₆ H ₁₇ ClN ₂ O ₃ S	7,94	9,09
III _м	212–214	70	7,90; 8,15	9,06; 9,33	C ₁₆ H ₁₇ ClN ₂ O ₃ S	7,94	9,09
IV _а	152,5?154,0	46	8,07; 8,36	9,31; 9,65	C ₁₅ H ₁₃ ClN ₂ O ₃ S	8,32	9,52
IV _б	146,5?147,0	61	7,73; 7,90	8,95; 9,24	C ₁₆ H ₁₅ ClN ₂ O ₃ S	7,99	9,14
IV _в	195–197	66	8,41; 8,62	9,53; 9,71	C ₁₇ H ₁₈ N ₂ O ₃ S	8,48	9,71
IV _г	170,0–171,5	61	7,96; 8,14	9,03; 9,30	C ₁₆ H ₁₅ ClN ₂ O ₃ S	7,99	9,14
IV _д	140–141	78	7,55; 7,82	8,97; 9,16	C ₁₉ H ₂₂ N ₂ O ₃ S	7,82	8,95
IV _е	157,0–158,5	65	7,39; 7,54	8,36; 8,52	C ₁₈ H ₁₉ ClN ₂ O ₃ S	7,39	8,46
IV _ж	164–165	98	7,61; 7,83	8,90; 9,15	C ₁₉ H ₂₂ N ₂ O ₃ S	7,82	8,95
IV _з	171–172	83	7,29; 7,46	8,33; 8,52	C ₁₈ H ₁₉ ClN ₂ O ₃ S	7,39	8,46
IV _к	146,0–147,5	46	8,04; 8,29	9,16; 9,35	C ₁₆ H ₁₅ ClN ₂ O ₃ S	7,99	9,14
IV _м	190–192	92	7,97; 8,16	9,03; 9,28	C ₁₆ H ₁₅ ClN ₂ O ₃ S	7,99	9,14
VI _а	118,5–120,0	100	6,99; 7,23	16,05; 16,34	C ₁₆ H ₁₃ ClN ₂ O ₄ S ₂	7,06	16,16
VI _б	253,5–255,0	93	7,15; 7,40	16,28; 16,53	C ₁₈ H ₁₈ N ₂ O ₄ S ₂	7,17	16,42
VI _г	187–189	92	6,68; 6,92	15,43; 15,69	C ₁₇ H ₁₅ ClN ₂ O ₄ S ₂	6,82	15,61
VI _ж	223–224	85	6,60; 6,84	15,32; 15,55	C ₂₀ H ₂₂ N ₂ O ₄ S ₂	6,69	15,32
VI _з	219–220	95	6,27; 6,53	14,38 14,67	C ₁₉ H ₁₉ ClN ₂ O ₄ S ₂	6,38	14,61
VIII _б	234–235	95	5,74; 5,97	13,36; 13,50	C ₁₁ H ₁₁ NO ₃ S	5,90	13,51
VIII _в	178–180	98	5,07; 5,28	11,86; 12,09	C ₁₃ H ₁₅ NO ₃ S	5,28	12,09
VIII _г	187–188	65	5,16; 5,40	12,01; 12,33	C ₁₃ H ₁₅ NO ₃ S	5,28	12,09
VIII _д	218–220	67	5,73; 5,91	13,44; 13,72	C ₁₁ H ₁₁ NO ₃ S	5,90	13,51
IX	315	30	12,61; 12,83	14,43; 14,65	C ₁₀ H ₁₀ N ₂ O ₂ S	12,60	14,43
XIII	193–195	70	12,49; 12,69	9,58; 9,73	C ₁₃ H ₇ N ₃ O ₆ S	12,61	9,62

з) получены окислением соответствующих N-ацетил-4-аминофенолов оксидом серебра (I) в хлорформе по методике, описанной в работе [9], а N-ацетил-1,4-бензохинонмоноимин (V_д) — окислением соответствующего N-ацетил-4-аминофенола тетраацетатом свинца в этилацетате по методике [10]. Хинонмоноимины (V_а–г) перекристаллизовывали из смеси бензол-гексан, хинонмоноимин (V_д) — из петролейного эфира.

Спектральные характеристики хинонмоноими-

нов (IV_и, л) приведены в работе [7], (V_б–г) — в работе [9], (V_д) — в работе [10]. Характеристики хинониминов (IV_и, л, V_а–д) соответствуют литературным данным: (IV_и, л) [7], (V_б–г) [9], (V_д) [10].

N-(2,4-Динитрофенил)-1,4-бензохинонмоноимин (XI) синтезирован по методике [15], *N*-(4-метилфенил)-1,4-бензохинонмоноимина (XII) — по методике [16].

Взаимодействие хинониминов (IV_а–к,

Взаимодействие N-ацетил- и N-[арилсульфонилимино(метил)метил]-1,4-бензохинонмоноиминов

V_a–д, XI, XII) с роданидом калия. К раствору 2 ммоль хинонамина в 15 мл ледяной уксусной кислоты добавляли 4 ммоль роданида калия. Перемешивали и оставляли на 12 ч. После обесцвечивания реакционного раствора добавляли воду до полного осаждения осадка. Осадок отфильтровывали и промывали водой, перекристаллизовывали из уксусной кислоты.

Спектры ЯМР ¹H всех образующихся продуктов (VIa»к, VIIб–к, VIIIа–д, IX, X, XIII, XIV) представлены в табл. 3. Выходы, температуры плавления, данные элементного анализа индивидуально выделенных продуктов реакции – в табл. 4.

СПИСОК ЛИТЕРАТУРЫ

1. Взаимодействие N-(*p*-толил)-1,4-бензохинонмоноимина с роданистоводородной кислотой / К.С. Бурмистров, Н.В. Торопин, С.И. Бурмистров, В.М. Ничволова // Журн. орган. химии. – 1992. – Т.28. – С.1900-1904.
2. Rajappa S., Shenoy S.J. Quinon-imides: regiospecificity of nucleophilic attack on N-alkanesulphonyl-N'-alkanoyl-1,4-benzoquinone-imines // Tetrahedron. « 1986. – Vol.42. – № 20. – Р.5739-5746.
3. Роданирование N-арилсульфонил-, N-ароил- и N-[N-арилсульфонил]-бензимидоил]-1,4-бензохинонмоноиминов / Авдеенко А.П., Пироженко В.В., Коновалова С.А., Романьков Д.А., Паламарчук Г.В., Шишкун О.В. // Журн. орган. химии. – 2009. – Т.45. – С.419-426.
4. Авдеенко А.П., Коновалова С.А., Романьков Д.А. Роданирование N-арилсульфонил-N'-ароил-1,4-бензохинондииминов // Вопр. химии и хим. технологии. – 2009. – № 1. – С.9–13.
5. Синтез и роданирование N-алкил(трифторметил)-сульфонил-1,4-бензохинонмоноиминов / Авдеенко А.П., Коновалова С.А., Михайличенко О.Н., Шеляженко С.В., Пироженко В.В., Ягупольский Л.М. // Журн. орган. химии. – 2011. – Т.47. – С.513-522.
6. Loos R., Kobayashi S., Mayr H. Ambident reactivity of the thiocyanate anion revisited: can the product ratio be explained by the hard soft acid principle // J. Am. Chem. Soc. – 2003. – Vol.125. – Р.14126-14132.
7. Синтез, рентгеноструктурный анализ и спектры ЯМР ¹H, ЯМР ¹³C N-[N-арилсульфониларил(метил)имидоил]-1,4-бензохинониминов – производных N-ароил(ацетил)-1,4-бензохинонмоноиминов / А.П. Авдеенко, В.В. Пироженко, Л.М. Ягупольский, И.Л. Марченко // Журн. орган. химии. – 2001. – Т.37. – С.1043-1051.
8. Марченко И.Л. Строение и реакционная способность N-ацетил-, N-[N-арилсульфониларил(метил)имидоил]-1,4-бензохинониминов: Дис...канд хим. наук: 02.00.03. – Днепропетровск: УГХТУ, 2002. – 174 с.
9. Гидрогалогенирование N-ацетил(ароил)-1,4-бензохинонмоноиминов / Авдеенко А.П., Коновалова С.А., Лудченко О.Н., Леденёва О.П., Вакуленко А.В. // Журн. орган. химии. – 2011. – Т.47. – С.223-237.
10. Fernando C.R., Calder I.C., Ham K.N. Studies on the Mechanism of Toxicity of Acetaminophen. Synthesis and Reactions of N-Acetyl-2,6-dimethyl- and N-Acetyl-3,5-dimethyl-*p*-benzoquinone Imines // J. Med. Chem. « 1980. – Vol.23. – № 11. – Р.1153-1158.
11. Романьков Д.А. Взаимодействие N-замещённых 1,4-бензохинониминов с арилсульфинатами натрия и роданидом калия: Дис...канд хим. наук: 02.00.03. – Днепропетровск: УГХТУ, 2009. – 252 с.
12. Granovsky A.A., firefly version 7.1.G, [www http://classic.chem.msu.su/gran/firefly/index.html](http://classic.chem.msu.su/gran/firefly/index.html)
13. General atomic and molecular electronic structure system / Schmidt M.W., Baldrige K.K., Boatz J.A., Elbert S.T., Gordon M.S., Jensen J.J., Koseki S., Matsunaga N., Nguyen K.A., Su S., Windus T.L., Dupuis M., Montgomery J.A. // J. Comput. Chem. – 1993. – Vol.14. – № 11. – Р.1347-1363.
14. N-[N-Арен(алкан)сульфонилбензимидоил]-производные *p*-хинонаминов / А.П. Авдеенко, К.С. Бурмистров, В.Л. Дубина, В.И. Скрипец // Укр. хим. журн. – 1980. – Т.46. – № 10. – С.1081–1083.
15. Авдеенко А.П. Синтез, реакции и применение N-замещенных *p*-хинонаминов: Дис...канд. хим. наук: 02.00.03. Днепропетровск: ДХТИ, 1974. – 180 с.
16. Синтез N-(4-метилфенил)-1,4-бензохинонмоноимина (XII)

Поступила в редакцию 6.02.2012